

І. Дияк І.І., Коссак О.С., Савула Я.Г.,
 Шинкаренко Г.А. Ресчт и оптимизация термоапряжений
 в паянных силовых полупроводниковых приборах // Теорет. электро-
 техника. Львов, 1990. Вып. 48. С.24-28. 2. Коваленко-
 ко А.Д. Избранные труды. К.: Наук. думка, 1976. 762 с.
 З. Марчук Г.И., Агостиков В.И. Введение в проекцион-
 но-сеточные методы. М.: Наука, 1981. 416 с. 4. Соболь И.М.,
 Статников Р.Б. Выбор оптимальных параметров в задачах
 со многими критериями. М.: Наука, 1981. 110 с.

Стаття надійшла до редколегії 10.02.94

УДК 518:517.948

Я.С.Гарасим, Б.А.Остудін

РОЗРОБКА МАТЕМАТИЧНОГО ТА ПРОГРАМНОГО ЗАБЕЗПЕЧЕННЯ
 ДЛЯ РОЗРАХУНКУ ОСЕСИМЕТРИЧНИХ ЕЛЕКТРОСТАТИЧНИХ ПОЛІВ
 НА БАЗІ ПЕРСОНАЛЬНИХ КОМП'ЮТЕРІВ

Нехай $Z \in R$ - декартові координати довільної точки
 евклідового простору R^2 за умови, що $R \geq 0$. Припустимо,
 що інформація про геометрію зарядженого електрода подається
 за допомогою параметричних рівнянь $Z = Z(\tau)$, $R = R(\tau)$ ($\alpha \leq \tau \leq \beta$),
 які описують деяку незамкнену криву L , розташовану в пів-
 площині $R \geq 0$. Ця крива є твірною певної циліндричної поверх-
 ні S , на якій задається граничне значення потенціалу U_0 .
 Електростатичне поле, утворене зарядженою поверхнею S , є
 осесиметричним і цілком характеризується своїми значеннями в
 точках півплощини $R \geq 0$. Припустимо також, що
 $Z(\tau), R(\tau) \in C^1[\alpha, \beta]$, як мінімум.

Відповідна математична модель, побудована на основі
 теорії потенціалу, дає змогу подати поле в будь-якій точці
 (\bar{Z}, \bar{R}) , $\bar{R} \geq 0$, за формулою [1, 6, 7]

$$U(\bar{Z}, \bar{R}) = \int_{\alpha}^{\beta} q(\tau) R(\tau) K(k) \left\{ [R(\tau) + \bar{R}]^2 + [Z(\tau) - \bar{Z}]^2 \right\}^{1/2} M(\tau) d\tau, \quad /1/$$

де $q(\tau)$ - густина розподілу зарядів уздовж L ; $K(k) =$
 $= \int_0^{\pi/2} (1 - k^2 \sin^2 y)^{-1/2} dy$ - повний еліптичний інтеграл
 першого роду, причому $k^2 = 4 \cdot R(\tau) \cdot \bar{R} \times$
 $\times \left\{ [R(\tau) + \bar{R}]^2 + [Z(\tau) - \bar{Z}]^2 \right\}^{-1}$.

а

$$M(\tau) = \left\{ [Z'(\tau)]^2 + [R'(\tau)]^2 \right\}^{1/2}.$$

© Гарасим Я.С., Остудін Б.А., 1995

Невідома функція $q(\tau)$ визначається з інтегрального рівняння /1Р/

$$Aq \equiv \int_{\alpha}^{\beta} q(\tau) R(\tau) K(\tau, \bar{\tau}) T^{-1}(\tau, \bar{\tau}) M(\tau) d\tau = U_0, \quad /2/$$

де

$$T(\tau, \bar{\tau}) = \{[R(\tau) + R(\bar{\tau})]^2 + [Z(\tau) - Z(\bar{\tau})]^2\}^{1/2}, \quad \bar{\tau} \in [\alpha, \beta];$$

$$K(\tau, \bar{\tau}) = P(\tau, \bar{\tau}) - Q(\tau, \bar{\tau}) \ln \eta \equiv \sum_{l=0}^4 a_l \eta^l - \ln \eta \sum_{l=0}^4 b_l \eta^l -$$

відома апроксимація повного еліптичного інтеграла першого роду /4/, причому

$$\eta = T^{-2}(\tau, \bar{\tau}) \{[R(\tau) - R(\bar{\tau})]^2 + [Z(\tau) - Z(\bar{\tau})]^2\}.$$

В аналізі задачі /2/ важливо з'ясувати тип /1Р/. Це допомагає вирішити питання розв'язності, що в свою чергу диктує вибір алгоритму наближеного розв'язування /2/ та визначає характер апроксимації шуканої густини $q(\tau)$. Неважко переконатися в тому, що /2/ зводиться до сингулярного /1Р/ першого роду з логарифмічною особливістю в ядрі:

$$(L + W)q \equiv \int_{\alpha}^{\beta} q(\tau) \left[\ln \frac{1}{|\tau - \bar{\tau}|} + W(\tau, \bar{\tau}) \right] d\tau = U(\bar{\tau}) \quad /3/$$

$(\alpha < \bar{\tau} < \beta)$

де

$$U(\tau) = U_0 \beta_0^{-1} M^{-1}(\tau); \quad W(\tau, \bar{\tau}) = \beta_0^{-1} M^{-1}(\bar{\tau}) \left\{ [B_0 M(\bar{\tau}) - \right. \\ \left. - 2D(\tau, \bar{\tau})Q(\tau, \bar{\tau})] \ln |\tau - \bar{\tau}| + D(\tau, \bar{\tau})[P(\tau, \bar{\tau}) + Q(\tau, \bar{\tau}) \ln \frac{(\tau - \bar{\tau})^2}{\eta}] \right\},$$

причому $D(\tau, \bar{\tau}) = R(\tau) M(\tau) T^{-1}(\tau, \bar{\tau})$.

Тут $W(\tau, \bar{\tau}) \in C([\alpha, \beta] \times [\alpha, \beta])$, оскільки $\lim_{\tau \rightarrow \bar{\tau}} W(\tau, \bar{\tau}) = B_0 M(\bar{\tau}) \{a_0 + 2\beta_0 \ln [2R(\bar{\tau})M^{-1}(\bar{\tau})]\}$ за умови $M(\bar{\tau}) \neq 0$, $\alpha < \bar{\tau} < \beta$.

Досліджувати розв'язність /1Р/ можна в різних функціональних просторах, але у всіх випадках потрібно враховувати сингулярну поведінку шуканого розв'язку в околі кінців розімкненої кривої L . Розглянемо розв'язок /3/ у просторі $H_{\mu}^*(\alpha, \beta)$ ($0 < \mu \leq 1$) функцій, які зображені у вигляді

$$q(\tau) = q^*(\tau) / \hat{R}(\tau), \quad /4/$$

причому $q^*(\cdot) \in H_\mu([\alpha, \beta])$ / клас Гельдера з показником μ а $\hat{R}(\tau) = (\tau - \alpha)^n \cdot (\beta - \tau)^m$ ($0 \leq n, m < 1$).

Вважатимемо, що оператор A діє з банахового простору $H_\mu^*(\alpha, \beta)$ в банахів простір $H_\mu^{*,1}(\alpha, \beta)$, до якого належать функції, похідні яких мають властивість аналогічну до /4/. У частинному випадку, коли $n=m=0,5$ для використовуваних просторів використовують позначення $\tilde{H}_\mu(\alpha, \beta)$, $\tilde{H}_\mu^*(\alpha, \beta)$ відповідно.

Відомо [5], що оператор $L: \tilde{H}_\mu(\alpha, \beta) \rightarrow \tilde{H}_\mu^*(\alpha, \beta)$ за умови $0 < \mu < 0,5$; $|\beta - \alpha| \neq 4$ є неперервно оборотним. Разом із компактністю оператора W це приводить до фредгольмовості A . Таким чином, питання розв'язності IP /3/ вирішується в рамках теорії Фредгольма. Властивості операторів L і W дають змогу одержати IP Фредгольма другого роду:

$$(I + L^{-1}W)q = L^{-1}U \quad /5/$$

з компактним оператором $L^{-1}W$, яке еквівалентне /3/. Таке зображення є корисним для /3/, з міркувань як теорії, так і з чисельного аналізу. Однак під час побудови наближеної схеми розв'язання /5/ виникають проблеми технічного характеру внаслідок складності операторів $L^{-1}W$ та L^{-1} . Тому, на нашу думку, доцільно застосовувати до /3/ метод саморегуляризації, що дає змогу наблизити одержати набагато простіше IP другого роду.

Повернемось до IP /2/. Цілі час аналізу реальних електронно-оптических систем граничні значення потенціалу задають на сукупності кривих $\{L_j\}_{j=1}^M$, а IP типу /2/ подають у вигляді

$$AQ \equiv \sum_{j=1}^M \int_{\alpha_j}^{\beta_j} q_j(\tau) R_j(\tau) K_{ji}(\tau, \bar{\tau}) T_i^{-1}(\tau, \bar{\tau}) M_j(\tau) d\tau = U_0^{(i)} \quad /6/$$

$(i = 1, 2, \dots, M)$

Тут $U_0^{(i)}$ – граничне значення потенціалу на i -ї кривій;

$$T_{ji}(\tau, \bar{\tau}) = \left\{ [R_j(\tau) + R_i(\bar{\tau})]^2 + [Z_j(\tau) - Z_i(\bar{\tau})]^2 \right\}^{1/2};$$

$Z = Z_j(\tau)$, $R = R_j(\tau)$ ($\alpha_j \leq \tau \leq \beta_j$) – параметричні рівняння, що описують криву L_j ($j = 1, 2, \dots, M$);

$\{Z_i(\bar{\tau}), R_i(\bar{\tau})\}$ – деяка фіксована точка на кривій

$$L_i(\alpha_i < \bar{\tau} < \beta_i); M_j(\tau) = \left\{ [Z'_j(\tau)]^2 + [R'_j(\tau)]^2 \right\}^{1/2};$$

$$K_{ji}(\tau, \bar{\tau}) = \sum_{l=0}^4 a_l \eta_{ji}^l - \ln(\eta_{ji}) \sum_{l=0}^4 b_l \eta_{ji}^l.$$

причому

$$\eta_{ji} = \left\{ [R_j(\tau) - R_i(\bar{\tau})]^2 + [Z_j(\tau) - Z_i(\bar{\tau})]^2 \right\} T_{ji}^{-2}(\tau, \bar{\tau}).$$

Розв'язком IP /6/ є Q – густота розподілу зарядів вздовж сукупності кривих $\{L_j\}_{j=1}^M$, тобто $Q = \{q_1(\tau), q_2(\tau), \dots, q_M(\tau)\}$, або інакше, $Q/L_j = q_j(\tau)$, де $\tau \in [\alpha_j, \beta_j]$.

Враховуючи попередні міркування, шукатимемо функції $q_j(\tau)$ у вигляді

$$q_j(\tau) = q_j^*(\tau)(\tau - \alpha_j)^{n_j}(\beta_j - \tau)^{m_j}; \tau \in [\alpha_j, \beta_j]; 0 \leq n_j, m_j < 1,$$

де $q_j^*(\tau) \in H_M([\alpha_j, \beta_j])$. Нехай, відповідно до /1/, величина n_j характеризує сингулярну поведінку розв'язку в околі першої кратної точки кривої L_j , і вважаємо n_j початком L_j ; m_j відповідає крайній точці на кінці L_j .

Приймасмо, що n_j та m_j дорівнюють 0,5, якщо крива L_j своїми кінцями не торкається сусідніх. Якщо ж заряджена поверхня має злам, то її подають як таку, що складається із двох, а характер відповідних сингулярностей визначається таким чином:

$$m_j = n_{j+1} = (\pi - \omega_j \pi) / (2\pi - \omega_j \pi),$$

причому ω_j – кут, утворений дотичними до кривих L_j, L_{j+1} у спільніх точках.

Далі відповідно до основної ідеї методу саморегуляризації /2, 3, 8/, спеціальним чином локалізувавши особливість в ядрі IP /3/, а також зробивши апріорне припущення про те, що функція

$$\Delta_i(\tau) = q_i(\tau)(\tau - \alpha_i)^{n_i}(\beta_i - \tau)^{m_i}$$

мало змінюється на достатньо малому відрізку довжини h , одержимо IP другого роду:

$$\Delta_i(\bar{\tau}) G_i(\bar{\tau}) + \sum_{j=1}^M \int_{\alpha_j}^{\beta_j} q_j(\tau) N_{ji}(\tau, \bar{\tau}) d\tau = U_0^{(i)} \quad (i = 1, 2, \dots, M), \quad (7)$$

де $G_i(\bar{\tau})$ – лінійна комбінація відносно простих одновимірних невласних інтегралів; $N_{ji}(\tau, \bar{\tau})$ – неперервні за обома змінними функції, причому у випадку $i \neq j$ вони просто збігаються з ядрами IP /6/. Зауважимо, також, що при $h \ll 1$ величина $G_i(\bar{\tau})$, незалежно від $\bar{\tau}$, веде себе як $|h \ln h|$.

При формулюванні проблеми розрахунку осесиметричного електростатичного поля у вигляді IP /6/ останнє допускає просту модифікацію, коли сукупність кривих $\{L_j\}_{j=1}^M$ має симетрію в розташуванні відносно осі OR обраної системи координат ZR . При цьому передбачається також наявність відповідної симетрії у поданні граничних умов. Аналог IP /6/ у такій ситуації може мати вигляд

$$\sum_{j=1}^{M^*} \int_{\alpha_j}^{\beta_j} q_j(\tau) R_j(\tau) [K_{ji}(\tau, \bar{\tau}) T_{ji}^{-1}(\tau, \bar{\tau}) + k_j \hat{K}_{ji}(\tau, \bar{\tau}) \hat{T}_{ji}^{-1}(\tau, \bar{\tau})] M_j(\tau) d\tau = U_0^{(i)} (M^* < M; i=1, 2, \dots, M),$$

де

$$\hat{T}_{ji}(\tau, \bar{\tau}) = \left\{ [R_j(\tau) + R_i(\bar{\tau})]^2 + [Z_j(\tau) + Z_i(\bar{\tau})]^2 \right\}^{1/2},$$

$\hat{K}_{ji}(\tau, \bar{\tau})$ обчислюється аналогічно $K_{ji}(\tau, \bar{\tau})$ з тією відмінністю, що

$$\eta_{ji} = \left\{ [R_j(\tau) - R_i(\bar{\tau})]^2 + [Z_j(\tau) - Z_i(\bar{\tau})]^2 \right\} / \hat{T}_{ji}^2(\tau, \bar{\tau}).$$

Коефіцієнт k_j зі значеннями ± 1 показує наявність симетричної до L_j кривої відносно осі OR , за відсутності симетрії $k_j = 0$.

Для наближеного розв'язування IP /7/ використаємо метод Боголюбова-Куїлєва. Розбиваючи кожний інтервал інтегрування на N_j^* рівних частин та вибираючи контрольні точки посередині кожного підінтервалу, для визначення невідомих значень густини одержуємо систему лінійних алгебраїчних рівнянь:

$$\sum_{j=1}^{M^*} \sum_{t=1}^{N_j^*} q_t^{(j)} A_{k,t}^{(i,j)} = U_0^{(i)} \\ (i = 1, 2, \dots, M; k = 1, 2, \dots, N_j^*),$$

де

$$A_{k,t}^{(i,j)} = \Delta_j(\tau_t^{(j)}) \int_{\tau_t^{(j)} - h_j}^{\tau_t^{(j)} + h_j} \frac{N_{ji}(\tau, \bar{\tau}_k)}{\Delta_j(\tau)} d\tau + \delta_{k,t}^{(i,j)} \Delta_i(\bar{\tau}_k) G_i(\bar{\tau}_k), \quad /8/$$

причому $h_j = (\beta_j - \alpha_j)/2N_j^*$; $\delta_{k,t}^{(i,j)}$ - символ Кронекера; $q_t^{(j)}$ - наближені значення шуканої густини в точках $\tau_t^{(j)} = \alpha_j + h_j(2t-1)$; $\bar{\tau}_k = \alpha_i + h_i(2k-1)$ - точки задоволення граничних умов. Інтеграли в /8/ обчислюються за звичайними квадратурними формулами з потрібною точністю.

Важливим моментом у розв'язуванні IP /7/ є оцінка точності отриманого розв'язку. Цю оцінку виконують апостеріорно [6, 7].

Після знаходження густини розподілу зарядів уздовж кривих L_j ($j = 1, 2, \dots, M$) потенціал осесиметричного електростатичного поля в довільній точці (\bar{Z}, \bar{R}) півплощини $R \geq 0$ можна визначити за формулou

$$U(\bar{Z}, \bar{R}) = \sum_{j=1}^M \sum_{t=1}^{N_j^*} q_t^{(j)} \Delta_j(\tau_t^{(j)}) \int_{\tau_t^{(j)}+h_j}^{\tau_t^{(j)}} R_j(\tau) \bar{K}_j(\tau) M_j(\tau) \Delta_j^{-1}(\tau) \bar{T}_j^{-1}(\tau) d\tau, /9/$$

де $\bar{T}_j(\tau) = 2[R(\tau)\bar{R}]^{1/2}/k$,

$$\text{а } \bar{K}_j(\tau) = \sum_{l=0}^4 a_l \bar{\eta}_j^l - \ln(\bar{\eta}_j) \sum_{l=0}^4 b_l \bar{\eta}_j^l,$$

причому

$$\bar{\eta}_j = \{[R_j(\tau) - \bar{R}]^2 + [Z_j(\tau) - \bar{Z}]^2\} / \bar{T}_j^2(\tau).$$

Далі, виконуючи диференціювання виразу в правій частині формулі /9/ відповідно до \bar{Z} та \bar{R} , отримуємо, з точністю до знака, компоненти вектора напруженості. Наведемо лише першу компоненту

$$\frac{\partial U}{\partial \bar{Z}} = \sum_{j=1}^M \sum_{t=1}^{N_j^*} q_t^{(j)} \Delta_j(\tau_t^{(j)}) \int_{\tau_t^{(j)}+h_j}^{\tau_t^{(j)}} R_j(\tau) [Z_j(\tau) - \bar{Z}] \times$$

$$\times \bar{E}_j(\tau) \Delta_j^{-1}(\tau) \bar{T}_j^{-3}(\tau) \bar{\eta}_j^{-1} M_j(\tau) d\tau, /10/$$

де $\bar{E}_j(\tau)$ - апроксимація повного еліптичного інтеграла другого роду згідно з формулou /4/:

$$\bar{E}_j(\tau) = 1 + \sum_{l=0}^4 p_l \bar{\eta}_j^l - \ln(\bar{\eta}_j) \sum_{l=0}^4 f_l \bar{\eta}_j^l.$$

Зауважимо, що під час визначення $\partial U / \partial \bar{Z}$ у безпосередній близькості кривої L_j точність знижується точністю наближеного обчислення відповідного інтеграла у формулі /10/, що пояснюється різким зростанням похідної підінтегральної функції. Для поліпшення ситуації до підінтегрального виразу застосовують згладжувальний множник H^2 , який додівнює квадратні відстані точок з координатами (\bar{Z}, \bar{R}) до кривої L_j .

Після застосування квадратурного правила до такого "нерегулярного" інтеграла залишається просто поділити результат на H^2 .

Описані в даній роботі алгоритми послужили математичною основою відповідного програмного забезпечення для розрахунку електростатичних полів осесиметричних електронно-оптических систем /ЕОС/ на базі персонального комп'ютера IBM PC/AT. Мова програмування – фортран-77. Створений комплекс здатний розв'язувати широке коло практичних задач і забезпечує діалоговий режим експлуатації.

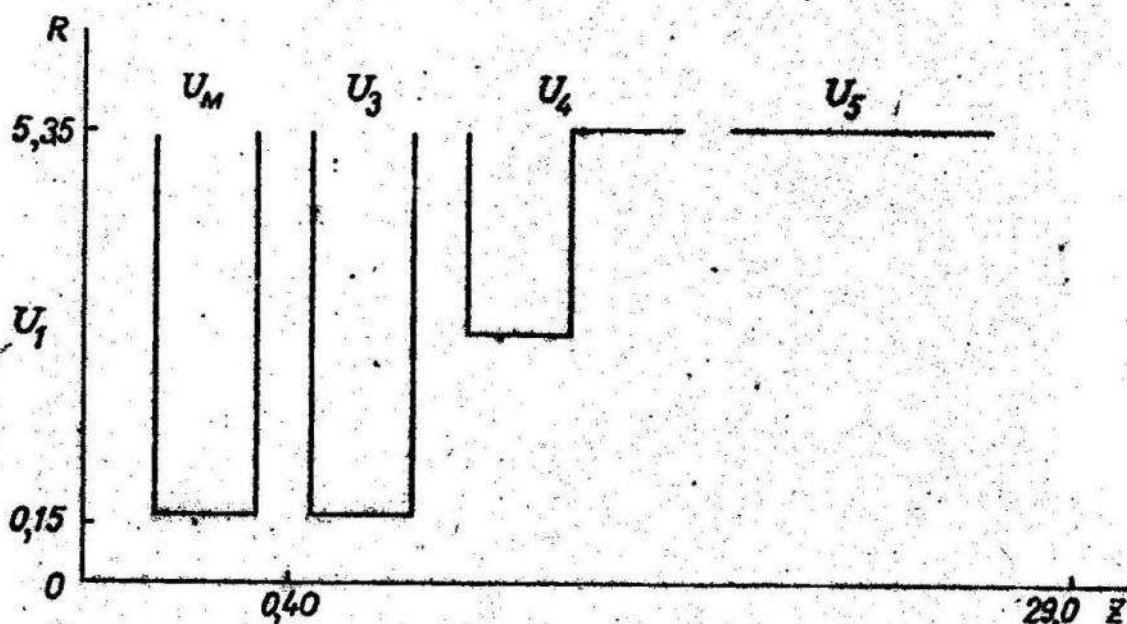


Рис. 1.

Одна з реальних ЕОС подана на рис. 1. Подібні системи застосовують для проектування нових електронно-променевих пристрій. Їх аналіз провадять з метою оцінки та поліпшення електронно-оптических характеристик систем формування та фокусування. Дані ЕОС моделюється за допомогою одинадцяти відрізків прямих, що об'єднуються в чотири джерела, на яких задані різні потенціали. Врахування симетрії у розташуванні ЕОС відносно осі OR забезпечує нульове значення потенціалу на катоді ($U_1 = 0$). Характерними ознаками даної ЕОС є малі відстані між джерелами, є також істотні відмінності у значеннях потенціалів на джерелах. Скажімо, на модуляторі

задається значення потенціалу $U_M = -5$, тоді як на інших джерелах потенціали розподілені так: $U_3 = 500$, $U_4 = 650$, $U_5 = 10000$.

Для розрахунку поля, створеного такою ЕОС, використовуються розв'язки так званих базових задач, коли на кожному із джерел послідовно задається значення потенціалу, що дорівнює одиниці, а на решті — нулі. Тоді для розрахунку конкретного поля потрібно лише утворити лінійну комбінацію розв'язків базових задач. Легко бачити, що в нашій ситуації таких задач с. чотири.

Цей спосіб подання поля найефективніший, оскільки дає змогу для фіксованої геометрії ЕОС розв'язувати 1Р лише один раз, незважаючи на конкретні значення потенціалів на електродах.

Рис. 2 Ілюструє розподіл потенціалу в околі катоду та модулятора. Розроблений комплекс програм забезпечує також розрахунок напруженостей осесиметричного електростатичного поля та потенціалу запирання.

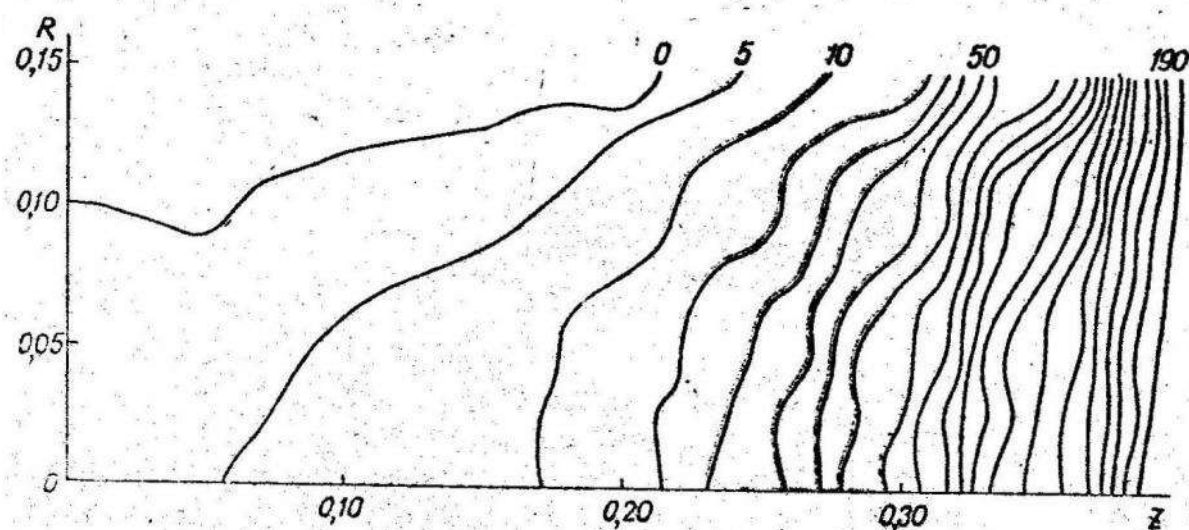


Рис. 2.

Наприкінці відзначимо, що використання сучасних засобів обчислювальної техніки у поєднанні з продуманим математичним забезпеченням дає змогу будувати ефективні розв'язки задач моделювання реальних фізичних явищ.

1. А н т о н е н к о О.Ф. Численное решение интегрального уравнения I-го рода для задачи Дирихле в случае тел вращения // Мат. пробл. геофизики. Новосибирск, 1969. Вып.1. С.202-211.
2. Д м и т р и ё в В.И., З а х а р о в Е.В. Интегральные уравнения в краевых задачах электродинамики. М.: Изд-во МГУ, 1987. 167 с.
3. Д м и т р и ё в В.И., З а х а р о в Е.В. О численном решении некоторых интегральных уравнений среды гольма I-го рода // Вычисл. методы и программирование. М.: Изд-во МГУ, 1968. Вып. 10. С.49-54.
4. Д и м а р с к и й Я.С., Л о з и н с к и й Н.Н., М а к у ш к и н А.Т. Справочник профессора: В 2 т. Л.: Судпромгиз. 1963. Т.1. 628 с.
5. И л ь и н с к и й А.С., Ш е с т о п а л о в Ю.В. Применение методом спектральной теории в задачах распространения волн. М.: Изд-во МГУ, 1989. 184 с.
6. Л ю д к е в и ч И.В., Г о р д и й - ч у к В.И., Б а к а л е ц В.А., М а р и н о к Л.О. Численное решение пространственных задач теории потенциала. Львов: МГУ, 1979. 116 с.
7. Л ю д к е в и ч И.В., О с т у д и ч Б.А. Численное решение граничных задач теории потенциала в электронной оптике методом саморегуляризации. Львов, 1983. 43 с.
8. Рукопись деп. в УкрНИИТИ 23.11.83, № 1455Ук-Д83.
9. Т и х о н о в А.Н., Д м и т р и ё в В.И. Метод расчета распределения тока в системе линейных вибраторов и диаграммы направленности этой системы // Вычисл. методы и программирование. М.: Изд-во МГУ, 1968. Вып.10. С.3-8.

Стаття надійшла до редколегії 08.02.94

УДК 519.6

Б.М.Голуб, Ю.П.Оліарник

ТУНЕЛЬНИЙ АЛГОРІТМ ПОШУКУ ГЛОБАЛЬНОГО МІНІМУМУ НЕПЕРЕРВНОЇ ФУНКІЇ

У даній статті розглядається метод пошуку глобального мінімуму неперервної функції $F(x)$ на компактній множині $X \subset \mathbb{R}^n$.

I. Тунельна функція. Нехай $x_1^* \in X$ — деяка ізольована точка мінімуму функції $F(x)$. Для пошуку точок x , в яких $F(x) < F(x_1^*)$, у праці [1] запропоновано використовувати допоміжну функцію:

$$P(x, z, \varrho) = \frac{e^{-\|x-x_1^*\|^2/\varrho^2}}{F(x)+z}, \quad /1/$$

де $F(x)+z > 0$ для всіх $x \in X$. Функцію $P(x, z, \varrho)$ називають тунельною, або наповнювальною.

© Голуб Б.М., Оліарник Ю.П., 1995